

تأثیر حرارت ورودی جوشکاری بر اعوجاج ورق F592A-کلدینگ شده با فولاد زنگ نزن سوپرداپلکس ۲۵۰۷SAF نرم افزار SYSWELD

عباس کریمی کیسمی^۱، فرزاد فردانی^۲

^۱ فارغ التحصیل کارشناسی ارشد، گرایش مهندسی ساخت در صنایع دریابی، دانشگاه صنعتی امیرکبیر.

^۲ سازمان صنایع دریابی گروه صنایع شهید قربانی، فارغ التحصیل کارشناسی ارشد، گرایش متالورژی شناسایی و انتخاب مواد، دانشگاه صنعتی مالک اشتر اصفهان.

چکیده

از فلزات پرکاربرد در ساخت مخازن تحت فشار می‌توان به فولادهای کم کربن با استحکام بالا اشاره کرد. به دلیل شرایط به شدت خورنده این محیط‌ها، برای افزایش مقاومت به خوردگی و طول عمر قطعات، سطح داخلی مخازن را توسط فولادهای زنگ نزن روکش‌دهی می‌کنند. یکی از روش‌های رایج روکش‌دهی توسط جوشکاری کلدینگ می‌باشد. از مشکلات عمده این روش اعوجاج ایجاد شده در قطعات به علت تعداد پاس‌های زیاد جوش و توزیع غیریکنواخت دما در منطقه جوشکاری شده نسبت به اطراف می‌باشد. اهداف اصلی پژوهش حاضر، ارزیابی بین میزان حرارت ورودی جوشکاری با میزان اعوجاج و شکل حوضچه جوش می‌باشد. از چهار حرارت ورودی مختلف (متغیر با سرعت پیشروی جوشکاری) برای انجام عملیات جوشکاری استفاده شده است. جوش‌ها بصورت سی و شش پاس جوش در قالب سه لایه دوازده تایی بر روی ورقه‌های فولاد F592A-اعمال شده اند. جنس فلز پرکننده نیز فولاد زنگ نزن سوپرداپلکس ۲۵۰۷SAF می‌باشد. با استفاده از نرم افزار SYSWELD نمونه‌های مذکور مورد تحلیل حرارتی و مکانیکی قرار گرفته و نتایج در نمونه‌های مختلف مورد بررسی و تحلیل قرار گرفت. نتایج این پژوهش نشان داد که حرارت ورودی جوشکاری نمونه-۱ و نمونه-۲ (بترتیب j/mm^2) ۲۱۲۵ و ۲۴۲۸ کمترین میزان اعوجاج را موجب می‌شوند اما بدلیل نفوذ کامل تر و مناسب نمونه-۲ نسبت به نمونه-۱، حرارت ورودی j/mm^2 بهترین گزینه برای کلدینگ این ورق تشخیص داده شد. در انتهای نیز روش‌هایی برای کاهش اعوجاج پیش و در حین جوشکاری معرفی شد که روش‌های ایجاد قوس در قطعه و خنک کاری موضع جوش حین جوشکاری مناسب برای تحقیق پیش رو، تشخیص داده شد.

واژه‌های کلیدی: اعوجاج، کلدینگ، GTAW، شبیه سازی، SYSWELD

۱. مقدمه

کلدينگ، نوعی فرآيند جوشکاري است که در آن پاس‌هايی از جوش بر سطح قطعه نشانده می‌شود که اين عمل به منظور بهبود خواص سطح و افزایش مقاومت به خوردگی، مقاومت به خرز، مقاومت به دماي ورودی و مقاومت به ضربه اشاره انجام می‌گيرد که در مجموع باعث افزایش عمر قطعات می‌گردد^[۱]. اين روش در صنایع مختلفی از جمله صنایع دفاع، صنایع پتروشیمی، هوا فضا صنایع هسته‌ای، صنایع دفاعی، کاغذ سازی و غيره کاربرد فراوان دارد^[۲]. کلدينگ با لایه گذاري فولاد زنگ‌زن يكى از پرکاربردترین روش‌ها برای محافظت مخازن در برابر محیط خورنده می‌باشد^[۳]. فولاد زنگ‌زن SAF ۲۵۰۷ به دليل مقاوت خوب در برابر خوردگی و همچنین عملکرد مناسب در دماهای بالای ۶۰۰-۵۰۰ درجه سانتی گراد، يكى از پرکاربردترین فولادها در لایه نشانی مخازن تحت فشار می‌باشد. فولاد کوائج، تمپر شده A592-F نيز به علت استحکام بالا و ساختار کم کرbin آن به صورت گستردۀای در ساخت بدنه مخازن تحت فشار مورد استفاده قرار می‌گيرد^[۴]. يك از نگرانی‌های اصلی در روش کلدينگ، تنش پسماند ايجاد شده در اثر انجام آن می‌باشد^[۵]. توزيع دماي غير يکواخت در جريان جوشکاري قطعه سبب توليد يك سرى اعوجاج از جمله اعوجاج کمانشی می‌گردد. اعوجاج مذكور نوعی تغيير شكل خارج از صفحه است که می‌تواند دقت ابعادی را کاهش دهد و باعث ناپایداری سازه خصوصا در ورق‌ها گردد^[۶]. حرارت متمرکز جوشکاري باعث افزایش حجم موضعی در قطعه کار می‌گردد اما از آن جایی که مناطق اطراف اين موضع دماي پايان‌تری دارند از انبساط آن جلوگیری کرده و بنابراین ماده در اين قسمت متورم می‌شود. چون دما در سطحی که تحت قوس گرم شده از سطح مخالف بالاتر است بنابراین حين سرد شدن، اين سطح انقباض بيشرتی را تجربه می‌کند که منجر به اعوجاج زاویه‌ای می‌گردد^[۷]. اعوجاج خمشی طولی نيز به دلایل مشابه اعوجاج زاویه‌ای و به دلیل تفاوت میزان تنش کششی در يك سطح تحت جوشکاري نسبت به سطح مخالف آن، اتفاق می‌افتد^[۸].

از آنجایی که روش‌های کاهش تنش پسماند جوشکاري هزینه بر هستند بهترین راه برای کاهش اين تنش‌ها استفاده از پارامترهای بهینه جوشکاري می‌باشد. در اين پژوهش سعی شده با بررسی چهار حرارت ورودی جوشکاري متفاوت، که متغير با سرعت جوشکاري محاسبه شده‌اند، بهترین دماي ورودی برای انجام فرآيند کلدينگ بر حسب کمترین اعوجاج و مناسب ترین شکل حوضچه مذاب انتخاب گردد. به دلیل دخیل بودن پارامترهای متعدد در جوشکاري روش تحلیل عددی، جایگزینی مناسب برای آزمایشات تجربی می‌باشد که در آن واحد، متغيرهای گوناگونی را در فرآيند شبیه سازی لحاظ می‌کند. در مطالعه حاظر از نرم افزار تخصصی در زمینه تحلیل فرآيند جوشکاري SYSWELD استفاده شده است. تحلیل‌ها به صورت مکانیکی و حرارتی انجام گردید و نتایج نمونه‌های مختلف مورد بررسی قرار گرفت.

۲. مواد مصرفی و روش تحقیق

در اين بخش ابتدا مواد مورد استفاده در تحقیق آورده شده است، سپس نوع فرآيند جوشکاري، شرایط قيد گذاري و نمونه‌های حرارتی معرفی می‌گردد. در انتهای هم مدل منبع حرارتی مورد استفاده مورد بررسی قرار می‌گيرد.

۱-۲. فلز پایه و الکترود مصرفی

در اين پژوهش از ورق فولاد کم کرbin کوائج-تمپر شده A592-F به طول ۳۰۰، عرض ۲۲۰ و ضخامت ۳۰ میلیمتر به عنوان فلز پایه مورد استفاده قرار گرفت. از الکترود ER2594 نيز برای کلدينگ سطح فلز پایه استفاده شده است. در جدول ۱ مشخصات شیمیایی و مکانیکی فلز پایه و فيلر آورده شده است.

جدول ۱- خواص شیمیایی A۵۹۲-F و ER۲۵۹۴

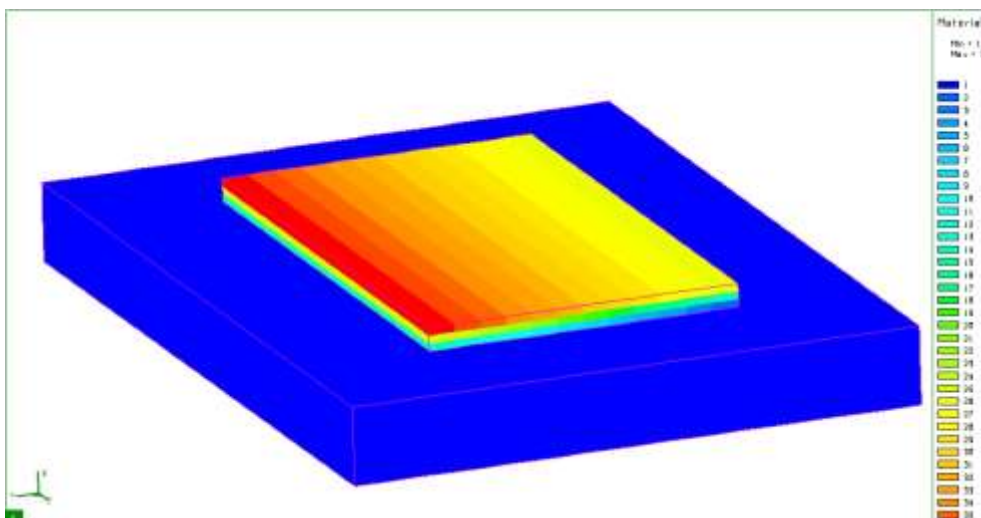
Fe	S	P	Si	Mn	Mo	Ni	Cr	C	
بقیه	۰,۰۴	۰,۰۳۵	۰,۱۵- ۰,۳۵	۰,۶-۱,۰	۰,۴-۰,۶	۰,۷-۱,۰	۰,۴- ۰,۶۵	۰,۱۰,۲	A۵۹۲-F
بقیه	۰,۰۲	۰,۰۳	۱,۰	۲,۵	۲,۵-۴,۵	۸,۰- ۱۰,۵	۲۴,۰- ۰,۲۷	۰,۰۳	ER۲۵۹۴

جدول ۲- خواص فیزیکی A۵۹۲-F و ER۲۵۹۴

Elongation (%)	(GPa)	مدول الاستیسیته (MPa)	استحکام تسلیم (MPa)	
۱۶		۲۰۰	۶۹۰	A۵۹۲-F
۲۵≤			۶۵۰≤	ER۲۵۹۴

۲-۲. شرایط جوشکاری و مدل‌سازی

نمونه‌های مورد بررسی به صورت سه لایه جوشکاری که هر لایه شامل دوازده خط جوش است، در راستای طول جوشکاری شدند (شکل ۱). جوشکاری توسط فرآیند GTAW و با گاز محافظ آرگون و با قطبیت منفی (DCEN) انجام گرفته و از فلز پرکننده با قطر ۲,۴ میلیمتر استفاده شده است. شبیه سازی در چهار حرارت ورودی مختلف (با تغییر سرعت جوشکاری) و با متغیرهای ذکر شده در جدول ۳ انجام شد.

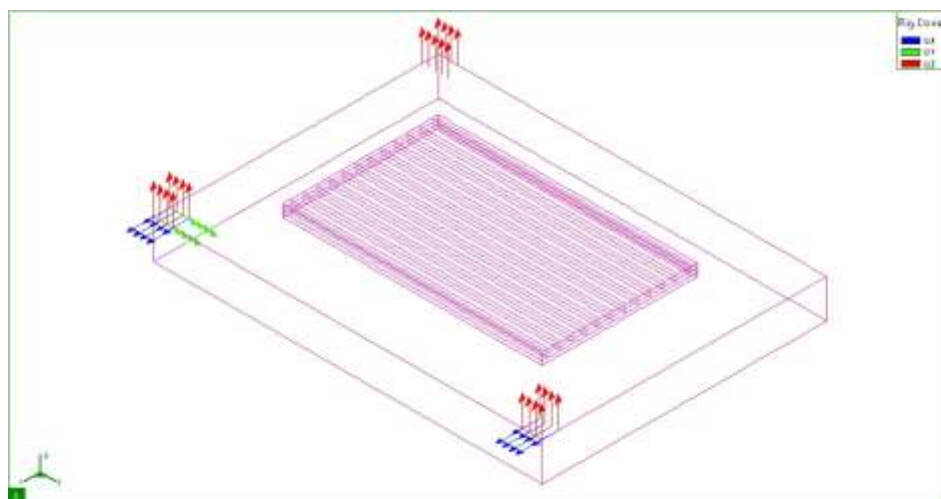


شکل ۱- مدل‌سازی انجام شده توسط نرم‌افزار SYSWELD و نحوه لایه‌گذاری

جدول ۳- نمونه‌های حرارتی مورد بررسی

تعداد پاس	حرارت ورودی (j/mm)	سرعت جوشکاری (mm/s)	جريان جوشکاری (A)	ولتاژ (V)	فرآیند	مدل ها
۳۶	۲۱۲۵	۱,۶	۲۰۰	۱۷	GTAW	نمونه-۱
	۲۲۶۶	۱,۵				نمونه-۲
	۲۶۱۵	۱,۳				نمونه-۳
	۳۴۰۰	۱				نمونه-۴

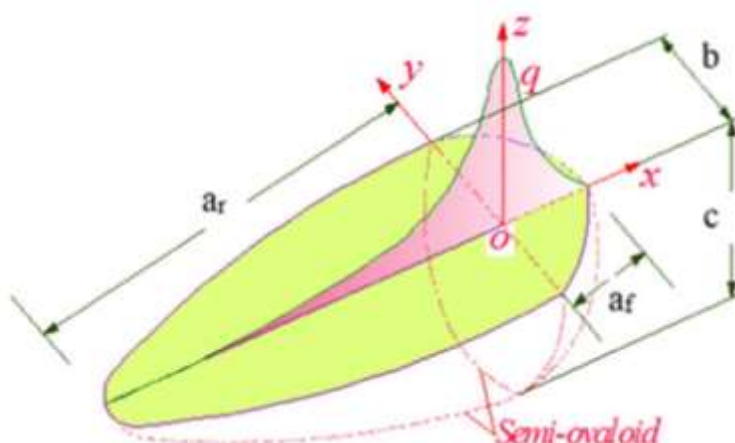
در شکل ۲ نحوه قید گذاری مدل نشان داده است. اگرچه این نوع قید گذاری بهترین نتیجه را برای کاهش اعوجاج نمی-دهد اما بهترین مدل برای نمایش مقادیر اعوجاج می‌باشد. از آنجایی که محور اصلی این تحقیق دستیابی به اعوجاج ناشی از جوشکاری می‌باشد، بنابر این کافی است که حرکت آزاد مدل محدود شود. این نوع قید گذاری را که از نظر استاتیکی معین می‌باشد و تنها از حرکت آزاد قطعه جلوگیری می‌کند، مدل بدون مهار^۱ می‌گویند.



شکل ۲- نحوه قید گذاری قطعه

۳-۲. مدل منبع حرارتی

مدل منبع حرارتی استفاده شده برای این شبیه سازی، مدل توزیع چگالی توانی دو بیضوی گلدان می‌باشد (شکل ۳)، که معادلات آن بصورت زیر می‌باشد:



شکل ۳- مدل منبع حرارتی استفاده شده در تحلیل‌ها [۱۱]

$$Q(x, y, z) = Q_f \exp\left(-\left(\frac{x}{a_f} + \frac{y}{b} + \frac{z}{c}\right)\right) \quad (1)$$

^۱ Unclamping

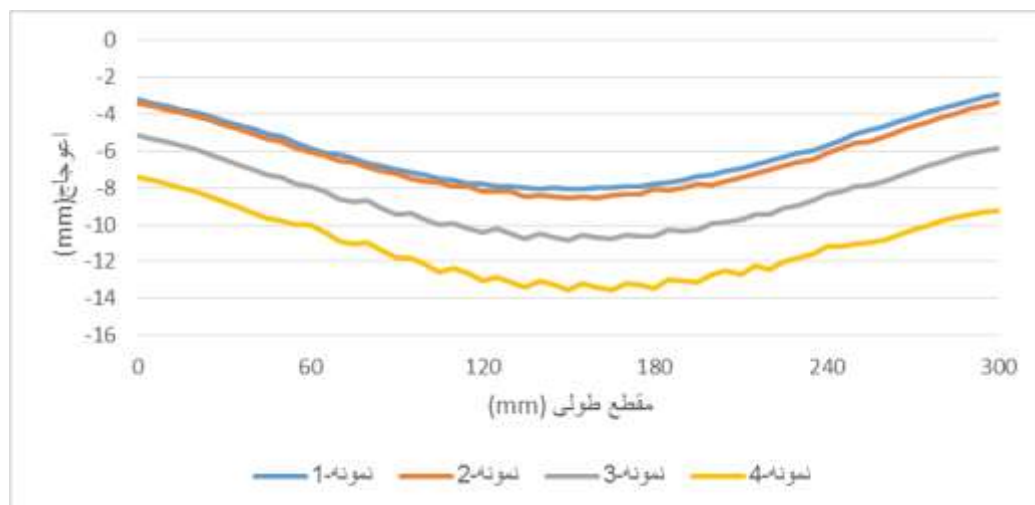
$$Q(x,y,z) = Q_r \exp\left(-\left(\frac{x}{a_r} + \frac{y}{b_r} + \frac{z}{c_r}\right)\right) \quad (7)$$

که Q_f و Q_r به ترتیب بیشترین مقدار چگالی انرژی در جلو و عقب مدل منبع حرارتی می‌باشد. a_f ، b و c پارامترهای وابسته به تغییر شکل منبع حرارتی هستند [۱۲]. از مزایای نرم افزار SYSWELD مدل‌های تعریف شده منبع حرارتی بصورت پیش فرض در نرم افزار می‌باشد که با انتخاب روش جوشکاری و ورود متغیرهای جوشکاری محاسبات و مدل سازی منبع حرارتی را خود انجام می‌دهد و دیگر نیازی به کدنویسی‌های پیچیده مدل حرارتی ندارد.

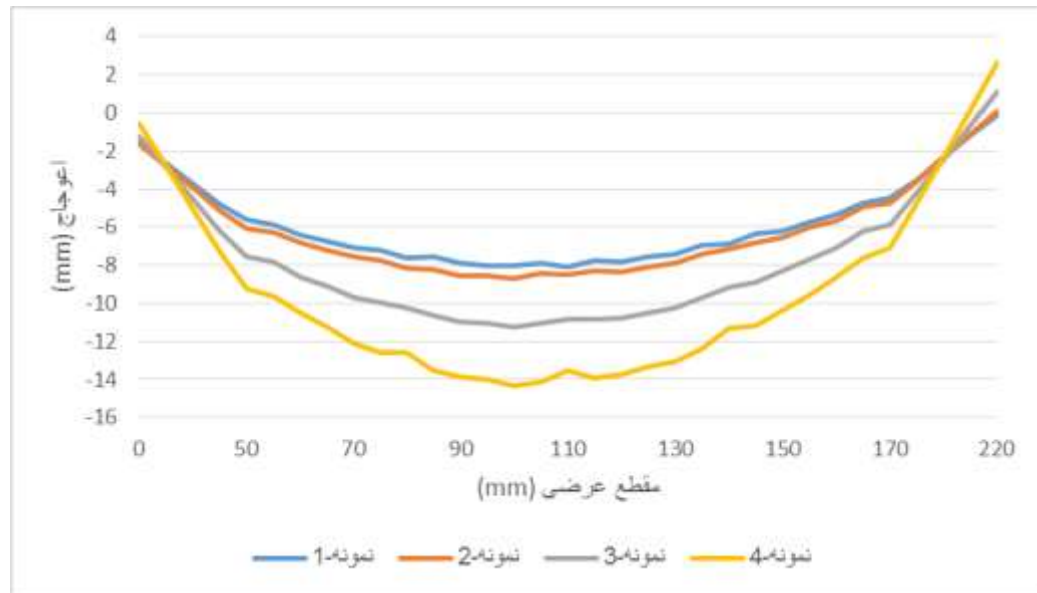
۳. نتایج و بحث و بررسی

بعد از تکمیل تمامی موارد مورد تحلیل، نتایج بدست آمده از نمونه‌های مختلف با یکدیگر مقایسه و مورد بررسی قرار گرفت که در ادامه مطلب به آن اشاره می‌شود.

۱-۳. تاثیر حرارت ورودی بر میزان اعوجاج در نمودار ۱ و ۲ تاثیر حرارت ورودی مدل‌های مختلف بر میزان اعوجاج ناشی از کلدينگ در موضع میانی جوشکاری بترتیب در امتداد طول وعرض نمونه ارائه گردید. با توجه به نمودارها مشخص است که بیشترین میزان اعوجاج در مقطع میانی محل جوشکاری می‌باشد و این مقدار متناسب با افزایش میزان حرارت ورودی در نمونه‌های مختلف افزایش می‌یابد. از سوی دیگر علت افزایش شدید اعوجاج در مقطع میانی را ضخامت زیاد قطعه دانست که باعث توزیع و کاهش سریع دمای قطعه میگردد و این باعث می‌شود که تنש‌های پسماند بصورت موضعی در محل جوش افزایش یابد و اعوجاج در محل جوشکاری افزایش بیشتری داشته باشد.



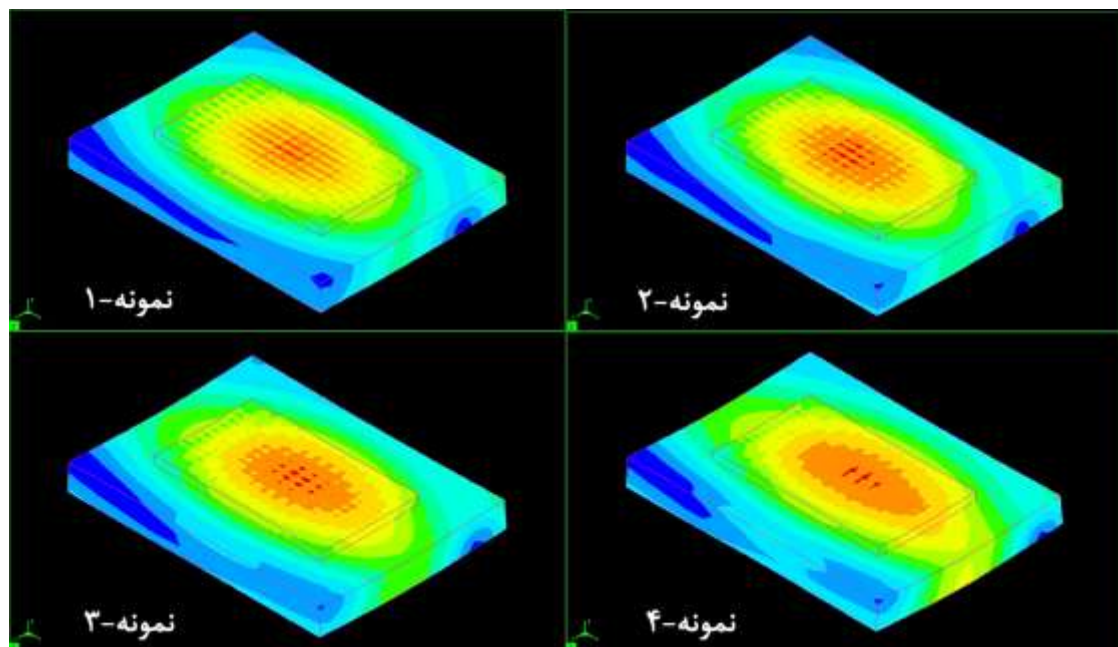
نمودار ۱- میزان اعوجاج در امتداد طول قطعه در مقطع میانی



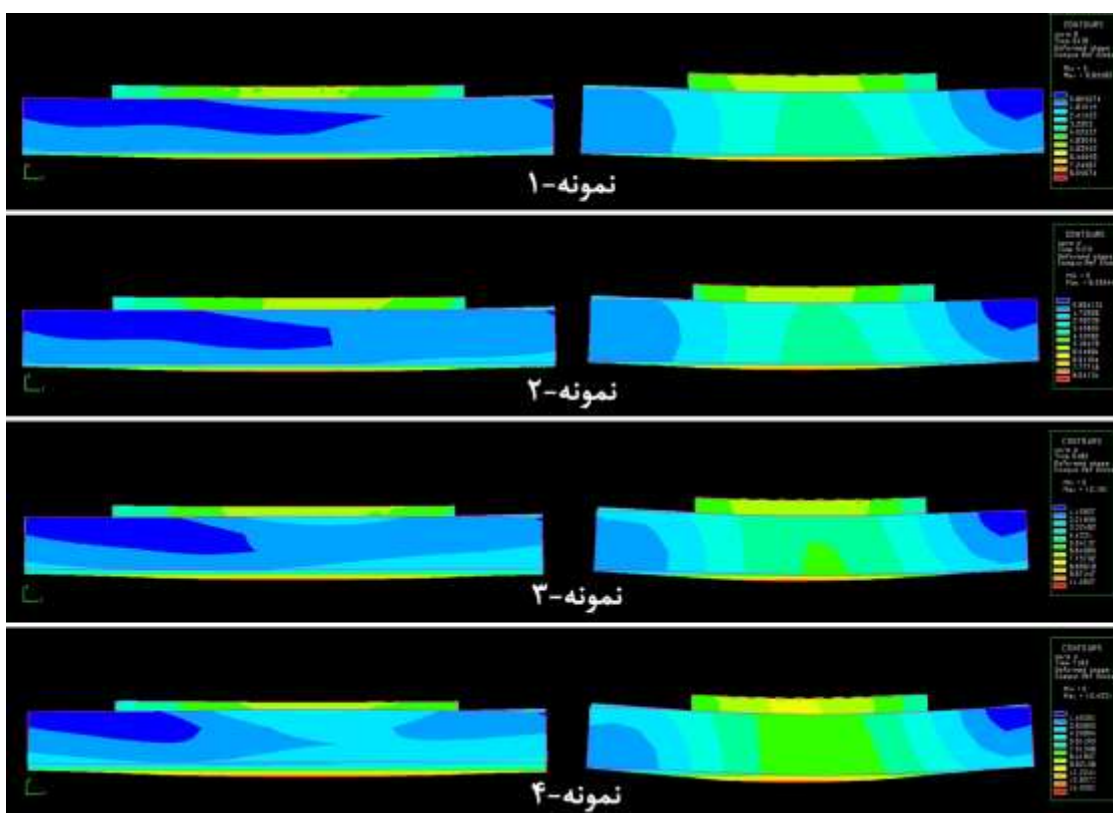
نمودار ۲- میزان اعوجاج در امتداد عرض قطعه در مقطع میانی

از طرفی اعوجاج تولید شده در کار حاضر به اعوجاج خمشی تولید شده در جوش‌های اتصالی بی‌تشبیه نیست. این اعوجاج به دلایل مشابه اعوجاج زاویه‌ای اتفاق می‌افتد که حاصل برآیند تنش‌ها در سطح بالای نسبت به سطح پایینی ورق است. از آنجایی که توزیع دمایی غیر یکسان در ضخامت باعث توزیع تنشی غیر یکسان می‌گردد، می‌تواند باعث حرکت قطعه بصورت خمش، در جهت طولی گردد. دلیل دیگر تولید اعوجاج خمشی می‌تواند قرار گرفتن خط جوش، خارج از محور خنصی در اتصالات باشد که در اینجا نیز بی‌تشابه به شرایط جوشکاری در روش لایه‌نشانی نیست [۱۳]. از آنجایی که تغییر شکل در قطعات جوشکاری حاصل از دو عامل اعوجا زاویه‌ای و توزیع تنش پسمند در ضخامت ورق است. در فرآیند حاضر، اعوجاج زاویه‌ای به حرارت ورودی و ضخامت ورق حساسیت دارد در حالی که نیروی انقباضی طولی (تنش کششی در سطح رویی ورق)، اصولاً با میزان حرارت ورودی مرتبط است. بنابراین می‌توان نتیجه گرفت که اعوجاج تولید شده به هردو اعوجاج شبیه است و تلفیقی از آن‌ها می‌باشد [۱۴].

برای درک بهتر اعوجاج خمشی طولی و اعوجاج زاویه‌ای ایجاد شده در نمونه‌ها، شمايلی از توزیع اعوجاج پس از اتمام فرآیند کلدينگ در کل قطعه (شکل ۴) و مقاطع طولی و عرضی قطعه (شکل ۵) نشان داده است. همانطور که از اطلاعات نمودارها نتیجه شد، در این اشكال نیز مقادیر بيشتر اعوجاج در منطقه کلدينگ شده مشخص است.



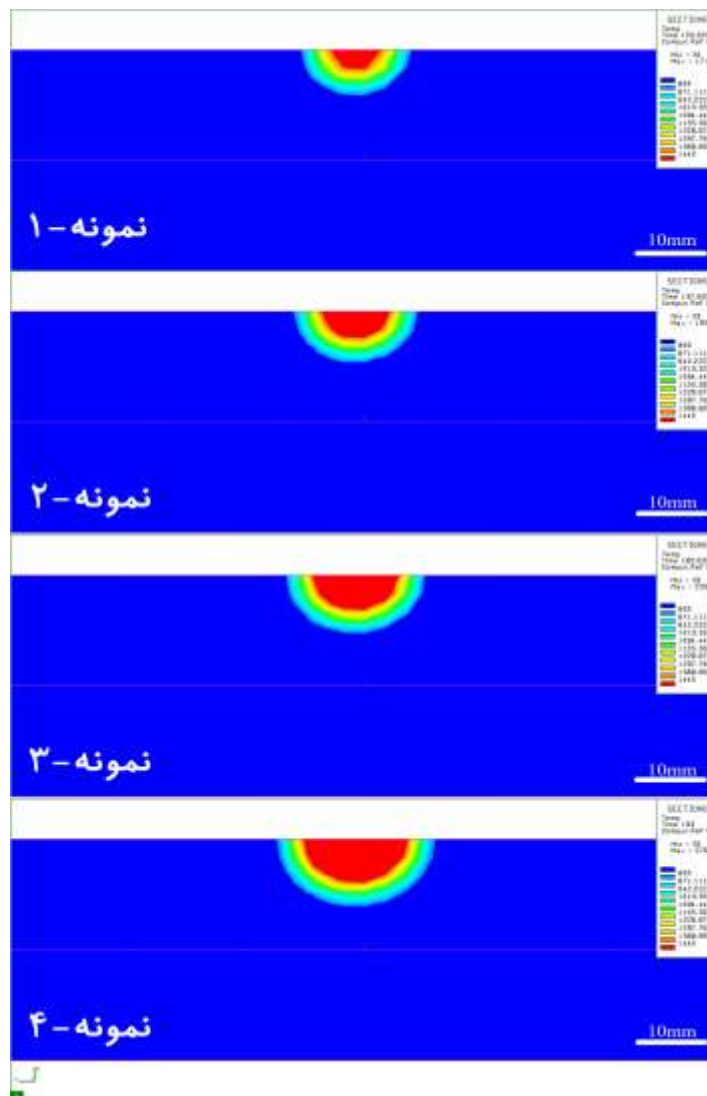
شکل ۴- نمایی توزیع اعوجاج در نمونه‌های مورد بررسی



شکل ۵- سمت راست نمای عرضی و سمت چپ نمای طولی از توزیع اعوجاج در نمونه‌های مورد بررسی

۳-۲. تاثیر حرارت ورودی بر میزان نفوذ جوش و منطقه متاثر از حرارت

از نتایج قسمت قبل این نتیجه حاصل شد که هرچه دما ورودی فرآیند جوشکاری کمتر باشد در نتیجه شاهد اعجاج کمتری در قطعه کار خواهیم بود، اما حرارت ورودی باید به اندازه‌ای باشد تا پاس جوش اعمال شده نفوذ مناسبی در قطعه کار داشته باشد تا اتصال مناسبی با قطعه کار ایجاد کند. در شکل ۳ اندازه حوضچه جوش و منطقه متأثر از حرارت برای چهار نمونه مورد بررسی، نشان داده شده است.



شکل ۶- نمایی از ناحیه مذاب جوشکاری و منطقه متأثر از حرارت

همانطور که از اشکال مشخص است با افزایش حرارت ورودی اندازه حوضچه مذاب افزایش می‌یابد. عرض پاس جوش در فرآیند شبیه سازی ۱۰ میلیمتر در نظر گرفته شده است بنابراین نزدیک‌ترین پهنهای حوضچه مذاب به عرض پاس جوش بهترین اتصال را ایجاد می‌کند و آسیب کمتری به پاس‌های مجاور می‌رساند. با توجه به شکل، پهنهای حوضچه مذاب برای نمونه‌های ۱ تا ۴ بترتیب ۷,۵، ۱۱، ۱۴ و ۱۶ میلیمتر می‌باشد. در نمونه-۱ ابعاد حوضچه مذاب بسیار کوچک است و اتصال ناقص و بی‌کیفیتی را حاصل می‌کند. در نمونه-۳ و نمونه-۴ نیز پهنهای زیاد حوضچه مذاب باعث آسیب به قطعه و پاس‌های جوش جانبی می‌شود. همچنین مشاهده می‌شود که یکی از دلایل اعجاج زیاد در دو نمونه آخر ذوب بیش از حد فلز پایه در

هنگام جوشکاری می‌باشد. با توجه به موارد ذکر شده بهترین نمونه از لحاظ ابعاد حوضچه مذاب و منطقه متاثر از حرارت نمونه-۲ می‌باشد.

۳-۳. راهکارهای پیشگیری از اعوجاج

هدف این پژوهش بررسی تاثیر حرارت ورودی بر میزان اعوجاج در قطعات کلینگ شده است که با توجه به نتایج بدست آمده بهترین میزان حرارت ورودی بر اساس سرعت جوشکاری مشخص گردید. با این حال برای دستیابی به کمترین میزان اعوجاج عوامل دیگری نیز دخیل هستند که بررسی مفصل آن‌ها خارج از بحث مقاله می‌باشد با این حال سعی شده مختصراً این عوامل عنوان شوند. روش‌های پیشگیری از اعوجاج به دو دسته پیش از جوشکاری، و در هنگام جوشکاری دسته‌بندی می‌شوند که در ادامه عنوان می‌شوند.

۳-۳-۱. روش‌های پیشگیری از اعوجاج پیش از جوشکاری

یکی از راههای کاهش اعوجاج ایجاد قوس در سمت مخالف محل جوشکاری می‌باشد. اینکار باعث ایجاد تنفس پسماند در سمت مخالف محل جوشکاری می‌شود که به آرامی با نشاندن پاس‌های جوش از میزان آن کاسته می‌شود و به حال اولیه بر می‌گردد[۱۵]. روش دیگر نحوه قید گذاری می‌باشد که با افزایش زمان قید گذاری و افزایش نیروی اعمالی توسط قیدها اعوجاج کاهش می‌یابد ولی خود می‌تواند باعث پیچش قطعه شود، بنابراین باید تناسب مناسبی برای زمان قید گذاری و نیروی اعمالی انتخاب نمود[۱۶].

۳-۳-۲. روش‌های پیشگیری از اعوجاج در هنگام از جوشکاری

روش‌های مختلف گرمایش قطعه حین جوشکاری از روش‌های کاهش اعوجاج در قطعه می‌باشد. با این وجود بر اساس گفته‌های استاندارد A592-F برای این قطعه گرمایش حین جوشکاری و قبل از آن نباید انجام شود. روش دیگر استفاده از خنک کاری در حین جوش می‌باشد که بصورت نازلی با فاصله کمی در پشت منبع جوش حرکت می‌کند و با جریان آب سرد موجب کاهش سریع دمای منطقه جوشکاری می‌شود[۱۷]. البته سرمایش سریع منطقه مذاب برروی ساختار کریستالوگرافی منطقه مذاب تاثیر گذاشته که با توجه به هدف کلینگ، باید استفاده از این روش در نظر گرفته شود. ترتیب پاس‌ها در جوشکاری روشی موثر و کم هزینه می‌باشد. بر اساس تحقیقات آقای زرگ، بهترین ترتیب جوشکاری از میانه قطعه به سمت انتهای آن می‌باشد که کمترین اعوجاج زاویه‌ای را نسبت به توالی‌های دیگر می‌دهد[۱۸].

روش‌های زیادی برای پیشگیری از اعوجاج در جوشکاری وجود دارد اما انتخاب هر کدام بسته به مشخصات قطعه، نوع فرآیند جوشکاری و محدودیت‌های موجود می‌باشد. به عنوان مثال برای پژوهش حاظر ایجاد قوس در قطعه و استفاده از ترتیب جوشکاری مناسب راهکارهایی مناسب رای کاهش اعوجاج می‌باشند.

۴. نتیجه‌گیری

- ۱- با افزایش حرارت ورودی جوشکاری، میزان اعوجاج تولید شده در ورق‌های لایه‌نشانی شده به مانند اتصالات جوشی معمولی، افزایش می‌یابد.
- ۲- به دلیل ضخامت زیاد اکثر ورق‌هایی که لایه‌نشانی می‌شوند، سرعت کاهش دمای قطعه زیاد می‌باشد و تنش‌های پسماند در سطح قطعه تجمع بیشتری دارند. استفاده از روش سرمایش محل جوش در حین جوشکاری برای کاهش

اعوجاج در این مورد مناسب می‌باشد. اگرچه با توجه به تاثیر کاهش سریع دما بر ساختار کریستالوگرافی، با توجه محل مورد استفاده این قطعه روش مذکور می‌تواند اثرات خوب یا بدی داشته باشد.

۳- در کنار استفاده از دمای ورودی کمتر برای کاهش تنش پسماند، باید به نفوذ مناسب پاس جوش در قطعه کار توجه داشت. هرچه عرض حوضچه مذاب بیشتر باشد، اعوجاج بیشتری را شاهد خواهیم بود.

۴- بر اساس اطلاعات بدست آمده از تحلیل نمونه‌ها، دو نمونه ۱ و ۲ کمترین میزان اعوجاج حاصله را در بین نمونه‌ها داشتند. با توجه به حوضچه جوش بدست آمده از این دو نمونه مشخص گردید که نفوذ نمونه ۲ بصورت کامل تری انجام شده است زیرا نفوذ ناقص و سطحی علاوه بر اتصال نامناسب خود باعث افزایش اعوجاج در قطعه کار می‌شود. بر این اساس مناسب‌ترین دمای ورودی kj/mm^2 ۲۴۲۸ در نظر گرفته شد که با سرعت پیشروی جوشکاری mm/s ۱,۲ بسدست می‌آمد.

۵- با توجه به اینکه نمونه ۲ بهترین گزینه انتخاب شد، با این حال برای عملی شدن این لایه نشانی باید اعوجاج به نزدیکی صفر برسد به این منظور راه کارهایی برای کاهش اعوجاج قبل و در حین جوشکاری معرفی شد که از روش‌های مناسب برای این پژوهش ایجاد قوس اولیه در قطعه و روش سرمایش موضعی در حین جوشکاری اشاره نمود.

۶- در صورتیکه شرایط جوشکاری و مشخصات منبع حرارتی برای نرم افزار SYSWELD به درستی تعریف شود، می‌تواند به عنوان بک نرم افزار تخصصی شبیه سازی فرآیند جوشکاری جایگزین مناسبی برای نرم افزارهای تحلیل گر مشابه باشد.

۵. مراجع

۱. Pradeep GR, Ramesh A and Durga Prasad B.(۲۰۱۰), “A review paper on hardfacing processes and materials”, International Journal of Engineering Science and Technology. ۲(۱۱): ۶۵۰۷-۱۰.
۲. هارونی، م. شمعانیان، م. (۱۳۸۷)، "بررسی ریزساختاری پوشش NiNi, NiNi-TiC ایجاد شده با روش GTAW"، کنفرانس ملی جوش و بازرگانی دانشگاه صنعتی اصفهان، ایران، ۱-۲ آبان.
۳. Katsuyama J, Udagawa M and Nishigawa H.(۲۰۱۰), “Evaluation of weld residual stress near the cladding and j-weld in reactor pressure vessel head for the assessment of PWSCC behavior”, E-journal of advanced maintenance Vol۲, japan safety research center.japan, ۵۰-۶۴.
۴. Pezeshkian R.M, Shafaiinpour S.(۲۰۱۵), “Heat input effects on microstructure quenched and tempered steel ASTM A۵۱۷ to stainless steel AISI ۳۱۶L”, Journal of Welding and Joining Vol. ۳۳, No. ۱.
۵. Navid N, Hosseinzadeh F, Kowal J.(۲۰۱۳), “residual stress measurement in a stanless steel clad ferritic plate using the cantour method”, Proceedings of the ASME Pressure Vessels and Piping Conference, July ۱۴-۱۸, Paris, France.
۶. Deng D, Zhou Y, Bi T, Liu X.(۲۰۱۳) “Experimental and numerical investigations of welding distortion induced by CO₂ gas arc welding in thin-plate bead-on joints”. Materials & Design., ۳۱:۵۲:۷۲۰-۹.
۷. Farhat HA.(۲۰۰۷),”Effects of multiple wires and welding speed on the microstructures and properties of submerged arc welded X¹⁸ steel”. University of Saskatchewan.
۸. Radaj D.(۲۰۱۲),“Heat effects of welding: temperature field, residual stress, distortion”. Scholarly article for Springer Science & Business Media; Dec ۱.

۹. American Welding Society.(۱۹۹۲)، "AWS A۵.۹: Specification for Bare Stainless Steel Welding Electrodes and Rods", Decamber ۲۳.
۱۰. ASTM International.(۲۰۱۸)، "ASTM A۵۹۲F: Standard Specification for High-Strength Quenched and Tempered Low-Alloy Steel Forged Parts for Pressure Vessels", May ۲۵.
۱۱. سalarی ح.(۱۳۹۷)، "تأثیر پیشگرم و پسگرم بر تنشهای پسماند و اعوجاج در جوش ستونهای فولادی". پایان نامه کارشناسی ارشد، دانشگاه صنعتی امیرکبیر، تهران، آبان ماه.
۱۲. Gietka T, Ciechacki K, Kik T.(۲۰۱۶)، "Numerical simulation of duplex steel multipass welding". Arch. Metall. Mater., Vol. ۶۱, No ۴, p.
۱۳. جوابی باف، م. (۱۳۹۵). "تحلیل اعوجاج و ارزیابی ساختار میکروسکوپی ورق های فولاد ساده کربنی روکش کاری شده به روش جوشکاری GMAW". پایان نامه کارشناسی ارشد، دانشگاه شهید چمران اهواز، شهریور ماه.
۱۴. Hirai S, Nakamura I.(۱۹۹۵)، "Research on angular change in fillet welds. Ishikawajima Review". Apr; ۵۹(۶۸).
۱۵. Feng Z.(۲۰۰۰)، "Processes and Mechanisms of Welding Residual Stress and Mechanism", Woodhead Publishing Ltd, Cambridge , pp ۲۸۲-۲۸۴.
۱۶. Shenk T, Richardson I.M, Kraska M, Ohnimus S.(۲۰۰۹)، "Influence of clamping on distortion of welded S۳۵۰ T-joints", Journal of Sci.Tech.Welding and joining, ۳۶۹-۳۷۳.
۱۷. Li J, Guan Q, W.Shi Y, Guo D.L.(۲۰۰۴)، "Stress and distortion mitigation technique for welding titanium alloy thin sheet", Journal Sci.Tech.Welding and joining. ۴۵۱-۴۵۸.
۱۸. Zargar S.H, Farahani M, Kazem M, Givi B.(۲۰۱۶)، " Numerical and experimental investigation on the effects of submerged arc welding sequence on the residual distortion of the fillet welded plates", Journal of Engineering Manufacture. ۲۳۰ ۶۵۴-۶۶۱.